

Mostre que isso é igual a

$$\frac{1}{\alpha_{0n}} \int_0^{\alpha_{0n}} J_0(y) \, dy.$$

A avaliação numérica desta última forma, em vez da primeira, é mais rápida e também mais exata. *Nota:* Para $\rho/a=0,0$ e z/l=0,5 a convergência é lenta, sendo que 20 termos dão apenas 98,4 em vez de 100.

Valor de verificação. Para
$$\rho/a=0, 4$$
 e $z/l=0, 3,$ $\psi=24,558.$

11.3 Funções de Neumann e Funções de Bessel da Segunda Espécie

Pela teoria das EDO, sabe-se que a equação de Bessel tem duas soluções independentes. De fato, para ordem ν não-inteira já encontramos duas soluções e as denominamos $J_{\nu}(x)$ e $J_{-\nu}(x)$, usando a série infinita (Equação (11.5)). O problema é que, quando ν é inteiro, a Equação (11.8) vale e temos só uma solução independente. Uma segunda solução pode ser desenvolvida pelos métodos da Seção 9.6, o que resulta em uma segunda solução bastante boa da equação de Bessel, mas não é a forma padrão.

Definição e Forma de Série

Como uma abordagem alternativa, tomamos a combinação linear particular de $J_{\nu}(x)$ e $J_{-\nu}(x)$

$$N_{\nu}(x) = \frac{\cos \nu \pi J_{\nu}(x) - J_{-\nu}(x)}{\sec \nu \pi}.$$
 (11.60)

Essa é a função de Neumann (Figura 11.5). Para ν não-inteiro, $N_{\nu}(x)$, claramente satisfaz a equação de Bessel, porque é uma combinação linear de soluções conhecidas $J_{\nu}(x)$ e $J_{-\nu}(x)$. Substituindo a série de potências da Equação (11.6) por $n \to \nu$ (dado no Exercício 11.1.7), temos como resultado

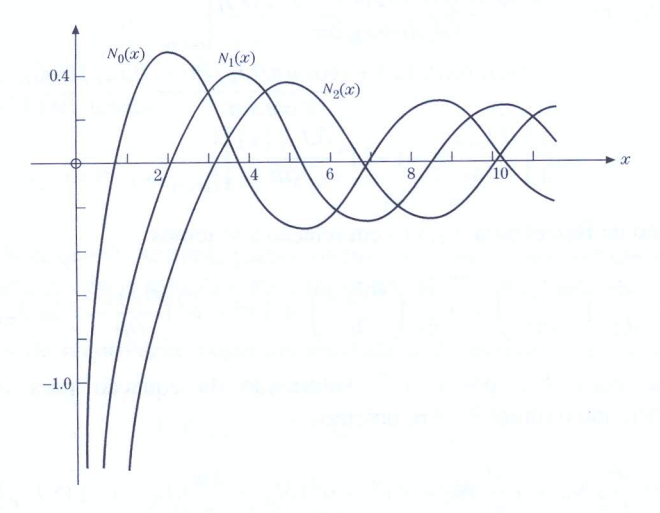


Figura 11.5: Funções de Neumann $N_0(x)$, $N_1(x)$, e $N_2(x)$.

$$N_{\nu}(x) = -\frac{(\nu - 1)!}{\pi} \left(\frac{2}{x}\right)^{\nu} + \cdots,^{16}$$
(11.61)

para $\nu>0$. Contudo, para ν inteiro, $\nu=n$, a Equação (11.8) se aplica e a Equação (11.60) 16 torna-se indeterminada. A definição de $N_{\nu}(x)$ foi escolhida deliberadamente por essa propriedade de indeterminação. Novamente substituindo a série de potências e avaliando $N_{\nu}(x)$ para $\nu\to0$ pela regra de l'Hôpital para formas indeterminadas, obtemos o valor limitador

$$N_0(x) = \frac{2}{\pi} (\ln x + \gamma - \ln 2) + O(x^2) , \qquad (11.62)$$

 $^{^{15}}$ Em AMS-55 (veja nota de rodapé 4 no Capítulo 5 ou Leituras Adicionais do Capítulo 8 para essa referência); na maioria das tabelas matemáticas, ela é rotulada $Y_{\nu}(x)$.

¹⁶Note que essa forma limitadora se aplica a valores inteiros e não-inteiros do índice ν .

para n=0 e $x\to 0$, usando

$$\nu!(-\nu)! = \frac{\pi\nu}{\operatorname{sen}\,\pi\nu} \tag{11.63}$$

da Equação (8.32). O primeiro e o terceiro termos na Equação (11.62) vêm da utilização de $(d/d\nu)(x/2)^{\nu}$ $(x/2)^{\nu} \ln(x/2)$, enquanto γ vem de $(d/d\nu)\nu!$ para $\nu \to 0$ usando as Equações (8.38) e (8.40). De modo semelhante, para n > 0, obtemos

Física Matemática

$$N_n(x) = -\frac{1}{\pi}(n-1)! \left(\frac{2}{x}\right)^n + \dots + \frac{2}{\pi} \left(\frac{x}{2}\right)^n \frac{1}{n!} \ln\left(\frac{x}{2}\right) + \dots$$
 (11.64)

As Equações (11.62) e (11.64) exibem a dependência logarítmica que era de esperar. Isso, é claro, verifica a independência de J_n e N_n .

Outras Formas

Como acontece com todas as outras funções de Bessel, $N_{\nu}(x)$ tem representações integrais. Para $N_0(x)$ temos

$$N_0(x) = -\frac{2}{\pi} \int_0^\infty \cos(x \cosh t) \, dt = -\frac{2}{\pi} \int_1^\infty \frac{\cos(xt)}{(t^2 - 1)^{1/2}} dt, \qquad x > 0.$$

Essas formas podem ser derivadas como a parte imaginária das representações de Hankel do Exercício 11.4.7. A última forma é uma transformada de Fourier de co-seno.

Para verificar que $N_{\nu}(x)$, nossa função de Neumann (Figura 11.5) ou função de Bessel da segunda espécie realmente satisfaz a equação de Bessel para n inteiro, podemos continuar como segue. A regra de L'Hôpital aplicada à Equação (11.60) resulta em

$$N_{n}(x) = \frac{(d/d\nu)[\cos\nu\pi J_{\nu}(x) - J_{-\nu}(x)]}{(d/d\nu)\sin\nu\pi}\bigg|_{\nu=n}$$

$$= \frac{-\pi \sin n\pi J_{n}(x) + [\cos n\pi\partial J_{\nu}/\partial\nu - \partial J_{-\nu}/\partial\nu]|_{\nu=n}}{\pi \cos n\pi}$$

$$= \frac{1}{\pi} \left[\frac{\partial J_{\nu}(x)}{\partial\nu} - (-1)^{n} \frac{\partial J_{-\nu}(x)}{\partial\nu} \right]\bigg|_{\nu=n}.$$
(11.65)

Diferenciando a equação de Bessel para $J_{\pm\nu}(x)$ em relação a ν , temos

$$x^{2} \frac{d^{2}}{dx^{2}} \left(\frac{\partial J_{\pm \nu}}{\partial \nu} \right) + x \frac{d}{dx} \left(\frac{\partial J_{\pm \nu}}{\partial \nu} \right) + \left(x^{2} - \nu^{2} \right) \frac{\partial J_{\pm \nu}}{\partial \nu} = 2\nu J_{\pm \nu}. \tag{11.66}$$

Multiplicando a equação para $J_{-\nu}$ por $(-1)^{\nu}$, subtraindo da equação para J_{ν} (como sugerido pela Equação (11.65)) e considerando o limite $\nu \to n$, obtemos

$$x^{2} \frac{d^{2}}{dx^{2}} N_{n} + x \frac{d}{dx} N_{n} + (x^{2} - n^{2}) N_{n} = \frac{2n}{\pi} [J_{n} - (-1)^{n} J_{-n}].$$
(11.67)

Para $\nu=n$, inteiro, o lado direito desaparece pela Equação (11.8) e $N_n(x)$ é considerada uma solução da equação de Bessel. Por conseguinte, a solução mais geral para qualquer ν pode ser escrita como

$$y(x) = AJ_{\nu}(x) + BN_{\nu}(x). \tag{11.68}$$

Pelas Equações (11.62) e (11.64) vemos que N_n diverge, ao menos de forma logarítmica. Qualquer condição de contorno que exija que a solução seja finita na origem (como em nossa membrana circular vibratória, Seção 11.1, automaticamente exclui $N_n(x)$. Ao contrário, na ausência de tal requisito, $N_n(x)$ deve ser considerada.

Até certo ponto, a definição da função de Neumann $N_n(x)$ é arbitrária. As Equações (11.62) e (11.64) contêm termos da forma $a_n J_n(x)$. Claramente, qualquer valor finito da constante a_n ainda nos daria uma segunda solução da equação de Bessel. Por que a_n teria o valor particular implícito nas Equações (11.62) e (11.64)? A resposta envolve a dependência assintótica desenvolvida na Seção 11.6. Se J_n corresponder a uma onda co-senoidal, então N_n corresponde a uma onda senoidal. Essa simples e conveniente relação de fase assintótica é uma conseqüência da mistura particular de J_n em N_n .



Relações de Recorrência

Substituindo a Equação (11.60) por $N_{\nu}(x)$ (ν não-inteiro) nas relações de recorrência (Equações (11.10) e (11.12)) por $J_n(x)$, vemos imediatamente que $N_{\nu}(x)$ satisfaz essas mesmas relações de recorrência. Na verdade, isso constitui uma outra prova de que N_{ν} é uma solução. A que o inverso não é necessariamente verdadeiro. As soluções não precisam satisfazer as mesmas relações de recorrência. Um exemplo desse tipo de confusão aparece na Seção 11.5.

Fórmulas Wronskianas

Pela Seção 9.6 e Exercício 10.1.4 temos a fórmula wronskiana¹⁷ para soluções da equação de Bessel,

$$u_{\nu}(x)v'_{\nu}(x) - u'_{\nu}(x)v_{\nu}(x) = \frac{A_{\nu}}{x},$$
 (11.69)

na qual A_{ν} é um parâmetro que depende de considerar as funções particulares de Bessel $u_{\nu}(x)$ e $v_{\nu}(x)$. A_{ν} é uma constante no sentido de que é independente de x. Considere o caso especial

$$u_{\nu}(x) = J_{\nu}(x), \qquad v_{\nu}(x) = J_{-\nu}(x),$$
 (11.70)

$$J_{\nu}J'_{-\nu} - J'_{\nu}J_{-\nu} = \frac{A_{\nu}}{x}.$$
(11.71)

Visto que A_{ν} é uma constante, ela pode ser identificada em qualquer ponto conveniente, tal como x=0. Usando os primeiros termos nas expansões de série (Equações (11.5) e (11.6)), obtemos

$$J_{\nu} \to \frac{x^{\nu}}{2^{\nu}\nu!}, \qquad J_{-\nu} \to \frac{2^{\nu}x^{-\nu}}{(-\nu)!}$$

$$J'_{\nu} \to \frac{\nu x^{\nu-1}}{2^{\nu}\nu!}, \qquad J'_{-\nu} \to -\frac{\nu 2^{\nu}x^{-\nu-1}}{(-\nu)!}.$$
(11.72)

Substituindo na Equação (11.69), temos

$$J_{\nu}(x)J'_{-\nu}(x) - J'_{\nu}(x)J_{-\nu}(x) = \frac{-2\nu}{x\nu!(-\nu)!} = -\frac{2\mathrm{sen}\,\nu\pi}{\pi x},\tag{11.73}$$

usando a Equação (8.32). Note que A_{ν} se anula parta ν inteiro, como deve, uma vez que o wronskiano não ser nulo é um teste da independência das duas soluções. Pela Equação (11.73), fica claro que J_n e J_{-n} são linearmente dependentes.

Usando nossas relações de recorrência, podemos imediatamente desenvolver um grande número de formas alternativas, entre elas

$$J_{\nu}J_{-\nu+1} + J_{-\nu}J_{\nu-1} = \frac{2\text{sen }\nu\pi}{\pi x},\tag{11.74}$$

$$J_{\nu}J_{-\nu-1} + J_{-\nu}J_{\nu+1} = -\frac{2\mathrm{sen}\,\nu\pi}{\pi x},\tag{11.75}$$

$$J_{\nu}N_{\nu}' - J_{\nu}'N_{\nu} = \frac{2}{\pi x},\tag{11.76}$$

$$J_{\nu}N_{\nu+1} - J_{\nu+1}N_{\nu} = -\frac{2}{\pi x}.$$
(11.77)

Muitas mais serão encontradas nas referências apresentadas no final do capítulo.

Lembre-se de que no Capítulo 9 os wronskianos eram de grande valor sob dois aspectos: (1) para estabelecer a independência linear ou a dependência linear de soluções equações diferenciais e (2) para desenvolver uma forma integral de uma segunda solução. Aqui, as formas específicas das combinações de funções de Bessel wronskianas e derivadas de wronskianos são úteis primordialmente para ilustrar o comportamento geral das várias funções de Bessel. Wronskianos são muito úteis para verificar tabelas de funções de Bessel. Na Seção 10.5 os wronskianos apareciam em conexão com funções de Green.

 $^{^{17}}$ Esse resultado depende de P(x), da Seção 9.5, ser igual a p'(x)/p(x), o coeficiente correspondente da forma auto-adjunta da Seção 10.1.

Exemplo 11.3.1 Guias de Onda Coaxiais

Estamos interessados em uma onda eletromagnética confinada entre as superfícies condutoras cilíndricas concêntricas $\rho=a$ e $\rho=b$. Grande parte da matemática é elaborada na Seção 9.3 e no Exemplo 11.1.2. Para ir da onda estacionária desses exemplos para a onda progressiva, que é o caso aqui, fazemos $A=iB, A=a_{mn}, B=b_{mn}$ na Equação (11.40a) e obtemos

$$E_z = \sum_{m,n} b_{mn} J_m(\gamma \rho) e^{\pm im\varphi} e^{i(kz - \omega t)}.$$
(11.78)

Propriedades adicionais das componentes da onda eletromagnética no guia de onda cilíndrico simples são exploradas nos Exercícios 11.3.8 e 11.3.9. Para o guia de onda coaxial é preciso uma generalização. A origem, $\rho=0$, agora é excluída $(0< a \le \rho \le b)$. Daí, a função de Neumann $N_m(\gamma\rho)$ pode não ser excluída. $E_z(\rho,\varphi,z,t)$ se torna

$$E_z = \sum_{m,n} \left[b_{mn} J_m(\gamma \rho) + c_{mn} N_m(\gamma \rho) \right] e^{\pm im\varphi} e^{i(kz - \omega t)}. \tag{11.79}$$

Com a condição

$$H_z = 0, (11.80)$$

temos as equações básicas para uma onda TM (modo transversal magnético).

O campo elétrico (tangencial) deve desaparecer nas superfícies condutoras (condição de contorno de Dirichlet), ou

$$b_{mn}J_m(\gamma a) + c_{mn}N_m(\gamma a) = 0, (11.81)$$

$$b_{mn}J_m(\gamma b) + c_{mn}N_m(\gamma b) = 0. (11.82)$$

Essas equações transcendentais podem ser resolvidas para $\gamma(\gamma_{mn})$ e a razão c_{mn}/b_{mn} . Pelo Exemplo 11.1.2,

$$k^{2} = \omega^{2} \mu_{0} \varepsilon_{0} - \gamma^{2} = \frac{\omega^{2}}{c^{2}} - \gamma^{2}.$$
 (11.83)

Uma vez que k^2 deve ser positiva para uma onda real, a freqüência mínima que será propagada (nesse modo TM) é

$$\omega = \gamma c,\tag{11.84}$$

com γ fixado pelas condições de contorno, Equações (11.81) e (11.82). Essa é a freqüência de corte do guia de onda.

Também há um modo TE (transversal elétrico), com $E_z=0$ e H_z dado pela Equação (11.79). Então, temos condições de contorno de Neumann em vez das Equações (11.81) e (11.82). Por fim, para o guia coaxial (não para o guia cilíndrico simples, a=0), um TEM (modo transversal eletromagnético), $E_z=H_z=0$, é possível. Isso corresponde a uma onda plana, como em espaço livre.

Incluímos os casos mais simples (nenhuma função de Neumann, condições de contorno mais simples) de um guia de onda circular nos Exercícios 11.3.8 e 11.3.9.

Para concluir essa discussão de funções de Neumann, introduzimos a função de Neumann $N_{\nu}(x)$ pelas seguintes razões:

- 1. É uma segunda solução, independente, da equação de Bessel, que completa a solução geral.
- 2. É requerida para problemas físicos específicos, tais como ondas eletromagnéticas em cabos coaxiais e teoria de espalhamento da Mecânica Quântica.
- 3. Leva à função de Green para a equação de Bessel (Seções 9.7 e 10.5).
- 4. Leva diretamente a duas funções de Hankel (Seção 11.4).

Exercícios

11.3.1 Prove que a funções de Neumann N_n (sendo n inteiro) satisfazem as relações de recorrência

$$N_{n-1}(x) + N_{n+1}(x) = \frac{2n}{x} N_n(x),$$

$$N_{n-1}(x) - N_{n+1}(x) = 2N'_n(x).$$

Sugestão: Essas relações podem ser provadas diferenciando as relações de recorrência para J_{ν} ou usando a forma de limite de N_{ν} , mas **não** dividindo tudo por zero.



11.3.2 Mostre que

$$N_{-n}(x) = (-1)^n N_n(x).$$

11.3.3 Mostre que

$$N_0'(x) = -N_1(x).$$

11.3.4 Se Y e Z são duas soluções quaisquer da equação de Bessel, mostre que

$$Y_{\nu}(x)Z'_{\nu}(x) - Y'_{\nu}(x)Z_{\nu}(x) = \frac{A_{\nu}}{x},$$

na qual A_{ν} pode depender de ν mas é independente de x. Esse é um caso especial do Exercício 10.1.4.

11.3.5 Verifique as fórmulas wronskianas

$$J_{\nu}(x)J_{-\nu+1}(x) + J_{-\nu}(x)J_{\nu-1}(x) = \frac{2\operatorname{sen}\nu\pi}{\pi x},$$

$$J_{\nu}(x)N'_{\nu}(x) - J'_{\nu}(x)N_{\nu}(x) = \frac{2}{\pi x}.$$

- 11.3.6 Como alternativa a deixar que x se aproxime de zero na avaliação da constante wronskiana, podemos invocar a unicidade de séries de potências (Seção 5.7). Então, o coeficiente de x^{-1} na expansão de série de $u_{\nu}(x)v'_{\nu}(x)-u'_{\nu}(x)v_{\nu}(x)$ é A_{ν} . Mostre por expansão de série que cada um dos coeficientes de x^0 e x^1 de $J_{\nu}(x)J'_{-\nu}(x)-J'_{\nu}(x)J_{-\nu}(x)$ é zero.
- 11.3.7 (a) Por diferenciação e substituição na EDO de Bessel, mostre que

$$\int_0^\infty \cos(x\cosh t)\,dt$$

é uma solução.

Sugestão: Você pode rearranjar a integral final como

$$\int_0^\infty \frac{d}{dt} \big\{ x \mathrm{sen} \; (x \cos \; ht) \mathrm{senh} \; t \big\} \, dt.$$

(b) Mostre que

$$N_0(x) = -\frac{2}{\pi} \int_0^\infty \cos(x \cosh t) \, dt$$

é linearmente independente de $J_0(x)$.

- 11.3.8 Um guia de onda cilíndrico tem raio r_0 . Ache as componentes que não desaparecem dos campos elétrico e magnético para
 - (a) TM_{01} , onda transversal magnética $(H_z = H_\rho = E_\varphi = 0)$,
 - (b) TE₀₁, onda transversal elétrica $(E_z = E_\rho = H_\varphi = 0)$.

Os índices 01 indicam que a componente longitudinal $(E_z \text{ ou } H_z)$ envolve J_0 e a condição de contorno é satisfeita pelo **primeiro** zero de J_0 ou J'_0 .

 $\textit{Sugest\~ao}$: Todas as componentes da onda têm o mesmo fator: $\exp i(kz-\omega t)$.

11.3.9 Para um dado modo de oscilação, a frequência **mínima** que será passada por um guia de onda cilíndrico circular $(raio r_0)$ é

$$\nu_{\min} = \frac{c}{\lambda_c}$$
, (s.km.) is a substitution of the substitutio

na qual λ_c é fixado pela condição de contorno

$$J_nigg(rac{2\pi r_0}{\lambda_c}igg)=0$$
 para modo $\mathrm{TM}_{nm},$ $J_n'igg(rac{2\pi r_0}{\lambda_c}igg)=0$ para modo $\mathrm{TE}_{nm}.$

O índice n denota a ordem da função de Bessel e m indica o zero usado. Ache esse comprimento de onda de corte λ_c para os três modos TM e os três modos TE que tenham os mais longos comprimentos de onda de corte. Explique seus resultados em termos do gráfico de J_0, J_1 e J_2 (Figura 11.1).